

УДК 539.434

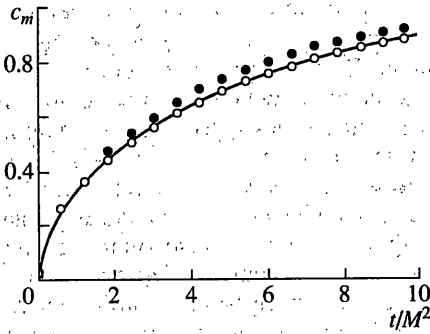
© 2001 г. Д.А. КУЛАГИН, А.М. ЛОКОШЕНКО

## **АНАЛИЗ ВЛИЯНИЯ ОКРУЖАЮЩЕЙ СРЕДЫ НА ДЛИТЕЛЬНУЮ ПРОЧНОСТЬ С ПОМОЩЬЮ ВЕРОЯТНОСТНОГО ПОДХОДА**

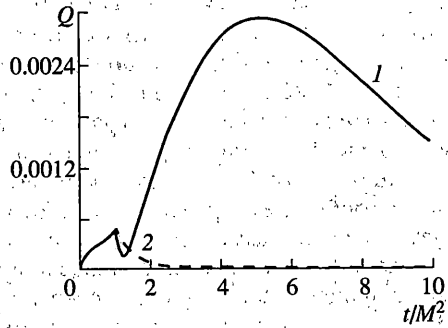
Проведено моделирование длительного разрушения металлов при совместном действии механических нагрузок и агрессивной окружающей среды. При применении кинетической теории Ю.Н. Работнова принимаются во внимание два параметра: поврежденность материала и концентрация в материале химических элементов окружающей среды. Длительная прочность рассматриваемого в качестве примера растягиваемого стержня исследуется с помощью предложенной вероятностной модели. Согласно этой модели тонкий стержень представляется состоящим из большого количества плотно уложенных пластин. Принята гипотеза о вероятности разрушения этих пластин, эта вероятность зависит от напряженного состояния и концентрации в материале стержня элементов окружающей среды. Предложено приближенное решение уравнения диффузии, которое основано на разделении поперечного сечения на невозмущенную и возмущенную части и на определении движения границы между этими частями. Показана высокая точность рассмотренного приближения. Полученная система кинетических уравнений применяется при анализе масштабного эффекта длительной прочности. Дополнительно предложен вариант кинетической модели Ю.Н. Работнова, в котором учитывается воздействие окружающей среды на длительную прочность металлов; приведен пример использования этого подхода.

**1. Введение.** Многочисленные исследования влияния агрессивной окружающей среды на ползучесть и длительную прочность металлов показывают, что это влияние в основном характеризуется протекающими в металле диффузионным и коррозионным процессами. В [1] приведен аналитический обзор основных феноменологических подходов, используемых при моделировании этого явления. В качестве основного параметра, используемого при анализе этих процессов, обычно принимается концентрация  $C$  в материале некоторых химических элементов среды, ослабляющих сопротивление материала действию внешних нагрузок. При исследовании длительной прочности элементов конструкций в указанных условиях наиболее оправданным следует считать применение кинетической теории Ю.Н. Работнова [2] с двумя параметрами: концентрацией  $c$  и рассеянной поврежденностью  $\omega$ , которые зависят от времени  $t$  и пространственных координат.

**2. Приближенный метод решения уравнения диффузии.** В качестве примера рассматривается задача о разрушении растягиваемого постоянной силой  $P$  стержня прямоугольного поперечного сечения  $aH$ . Принимается, что ширина сечения  $a$  значительно превосходит его толщину  $H$ , так что влиянием диффузии со стороны узких сторон прямоугольника на длительную прочность можно пренебречь. Принимается также, что длина стержня  $L$  во много раз превосходит поперечный размер  $a$ , так что влияние продольной координаты стержня на процесс разрушения поперечного сечения можно не учитывать. В поперечном сечении вдоль направления толщины стержня вводится координата  $x$  таким образом, что значения  $x = 0$  и  $x = H$  соответствуют



Фиг. 1.



Фиг. 2.

широким боковым сторонам стержня, из условия симметрии рассматривается одна половина стержня  $0 \leq x \leq 0,5H$ .

Для простоты рассматривается нулевое начальное условие для концентрации  $C$ , в качестве граничного условия на поверхностях широких боковых сторон стержня принимается равенство концентрации  $C$  постоянному значению  $C_0$ . Вводятся характерные значения толщины  $H_0$  и номинального напряжения  $\sigma_{00}$ . В дальнейшем используются безразмерные переменные  $c = C/C_0$ ,  $\sigma_0 = P/(aH\sigma_{00})$ ,  $M = H/H_0$ . Ниже под безразмерными параметрами  $x$  и  $t$  понимаются координата вдоль направления толщины стержня и реальное время, отнесенные соответственно к  $0,5H_0$  и  $H_0^2/(48D)$ , где  $D$  — коэффициент диффузии химических элементов окружающей среды в материал стержня. В этих безразмерных переменных уравнение диффузии, начальные и граничные условия принимают вид:

$$\frac{\partial c}{\partial t} = \frac{1}{12} \frac{\partial^2 c}{\partial x^2}, \quad c(x, 0) = 0, \quad c(0, t) = 1, \quad \frac{\partial c}{\partial x}(M, t) = 0 \quad (2.1)$$

Точное решение этого уравнения может быть представлено в виде ряда:

$$c(x, t) = 1 - \frac{4}{\pi} \sum_{k=0}^{\infty} \frac{1}{(2k+1)} \exp\left[-\frac{(2k+1)^2 \pi^2 t}{48M^2}\right] \sin \frac{(2k+1)\pi x}{2M} \quad (2.2)$$

Полезно также рассмотреть среднюю в поперечном сечении концентрацию  $c_m(t)$ :

$$c_m(t) = \frac{1}{M} \int_0^M c(x, t) dx \quad (2.3)$$

При учете (2.2) решение для средней концентрации примет вид:

$$c_m(t) = 1 - \frac{8}{\pi^2} \sum_{k=0}^{\infty} \frac{1}{(2k+1)^2} \exp\left[-\frac{(2k+1)^2 \pi^2 t}{48M^2}\right] \quad (2.4)$$

На фиг. 1 сплошной линией нанесена зависящая от времени средняя концентрация  $c_m$ , соответствующая (2.4). Следует отметить, что использование решения (2.2) существенно затрудняет аналитическое исследование задачи. Кроме того, при малых временах  $t$  можно получить качественно неверную картину диффузионного процесса. В этом случае (при малом  $t$ ) надо пользоваться другим решением, что делает всю схему еще более громоздкой. В связи с этим возникает проблема построения приближенного решения уравнения диффузии и оценки получаемой погрешности.

Из уравнения диффузии (2.1) следует, что заметное изменение концентрации  $c$  в каждой точке стержня наступает по истечении некоторого времени, зависящего от расстояния данной точки до поверхности стержня. В связи с этим естественно разделить всю область поперечного сечения стержня на невозмущенную и возмущенную части и исследовать движение границы между этими частями – фронта возмущения.

Метод приближенного решения уравнения в частных производных параболического типа в такой постановке впервые по-видимому был рассмотрен в [3], затем он получил обобщение и развитие в работах [4–7]. В [5] для задач с различными видами геометрической симметрии задавалась искомая функция в виде многочленов достаточно высоких степеней. Для определения зависящих от времени коэффициентов в [5] вводится фиксированное количество условий на границе рассматриваемой области и на фронте возмущения, а также необходимое количество последовательных моментных интегральных соотношений. В [6, 7] получено приближенное решение рассматриваемого уравнения для трехмерного тела без предположения какой-либо симметрии. При этом вводится система ортогональных координат, искомая функция представляется в виде ряда по базисным функциям и определяются интегральные условия для вычисления зависящих от времени коэффициентов ряда. В [1] при решении осесимметричной задачи зависимость концентрации  $c$  от радиуса задается в виде параболы  $k$ -ой степени с зависящими от  $t$  коэффициентами, значение  $k = 1,5$  получено из сопоставления зависимостей концентрации в центре стержня от времени, полученных точным и приближенным методами. Следует отметить, что введение фронта возмущения приводит к тому, что при малых временах (а в некоторых задачах и при любом значении  $t$ ) координата фронта возмущения перемещается пропорционально квадратному корню из значения времени  $t$ .

В данной работе приближенное решение уравнения диффузии рассматривается в виде последовательности двух стадий: первая стадия характеризуется движением диффузионных фронтов  $l(t)$  от боковых поверхностей стержня к его середине, вторая стадия начинается от момента соединения этих двух фронтов ( $t = t^0$ ), она характеризуется ненулевыми значениями  $c(x, t)$  при любом  $x$  и возрастанием уровня  $c(x, t)$  с ростом времени  $t$ . Зависимость концентрации  $c$  от поперечной координаты стержня  $x$  на каждой стадии диффузионного процесса задается в виде многочлена третьей степени. В результате приближенное решение уравнения (2.1) на первой стадии ( $0 \leq t \leq t^0$ ) может быть представлено в следующем виде:

$$c(x, t) = \begin{cases} A_0 + A_1 \left( \frac{x}{l(t)} \right) + A_2 \left( \frac{x}{l(t)} \right)^2 + A_3 \left( \frac{x}{l(t)} \right)^3 & (0 \leq x \leq l(t)) \\ 0 & (l(t) < x \leq M) \end{cases} \quad (2.5)$$

Для определения четырех коэффициентов  $A_i$  ( $i = 0, \dots, 3$ ) используются два граничных условия (2.1), а также два интегральных условия:

$$\int_0^M \left( \frac{\partial c}{\partial t} - \frac{1}{12} \frac{\partial^2 c}{\partial x^2} \right) dx = 0, \quad \int_0^M \left( \frac{\partial c}{\partial t} - \frac{1}{12} \frac{\partial^2 c}{\partial x^2} \right) x dx = 0 \quad (2.6)$$

В результате получаются выражение для диффузионного фронта  $l(t)$ , значения  $t^0$  и коэффициентов  $A_i$ :  $l(t) = \sqrt{t}$ ,  $t^0 = M^2$ ,  $A_0 = 1$ ,  $A_1 = -2$ ,  $A_2 = 1$ ,  $A_3 = 0$ . Аналогично (2.5) представляется решение  $c(x, t)$  на второй стадии процесса в следующем виде:

$$c(x, t) = A_0 + A_1(t)(x/M) + A_2(t)(x/M)^2 + A_3(t)(x/M)^3 \quad (2.7)$$

Для получения зависимостей входящих в (2.7) коэффициентов  $A_i$  ( $i = 0, \dots, 3$ ) от времени  $t$  следует подставить (2.7) в граничные условия (2.1) и уравнения (2.6), начальные значения для полученных обыкновенных дифференциальных уравнений

определяются с учетом (2.5) при  $t = t^0$ ; тогда

$$\begin{aligned} A_0 &= 1, \quad A_1(t) = -2,015F_1(t) - 5,148F_2(t) \\ A_2(t) &= 0,174F_1(t) + 12,556F_2(t), \quad A_3(t) = 0,556F_1(t) - 6,655F_2(t) \\ F_1(t) &= \exp(-0,204t/M^2), \quad F_2(t) = \exp(-2,683t/M^2) \end{aligned}$$

При подстановке (2.5) и (2.7) в (2.3) соотношение для средней в сечении концентрации принимает вид

$$c_m(t) = \begin{cases} \sqrt{t}/(3M), & 0 \leq t \leq t^0 \\ 1 - 0,811F_1(t) - 0,055F_2(t), & t > t^0 \end{cases} \quad (2.8)$$

Если в (2.5), (2.7) ограничить представление  $c(x, t)$  многочленом второй степени, то вместо (2.5), (2.7), (2.8) получаются следующие выражения для  $c(x, t)$  и  $c_m(t)$ :

$$c(x, t) = \begin{cases} \begin{cases} \left[ 1 - \frac{x}{\sqrt{t}} \right] & (0 \leq x \leq \sqrt{t}) \\ 0 & (\sqrt{t} < x \leq M) \end{cases} & (0 \leq t \leq t^0 = M^2) \\ \frac{1 - x(2M - x)}{M^2} \exp\left(-\frac{1 - M^2}{4M^2}\right) & (t > t^0) \end{cases} \quad (2.9)$$

$$c_m(t) = \begin{cases} \sqrt{t}/(3M) & (0 \leq t \leq M^2) \\ 1 - \frac{2}{3} \exp\left(-\frac{t - M^2}{4M^2}\right) & (t > M^2) \end{cases} \quad (2.10)$$

На фиг. 1 наряду с интегральной средней концентрацией  $c_m(t)$ , соответствующей точному решению (сплошная линия), приведены зависимости  $c_m(t)$ , соответствующие квадратичной (темные точки) и кубической (светлые точки) аппроксимациям. Для сравнения полученных приближенных решений уравнения диффузии с точным решением можно воспользоваться интегральной мерой  $Q(t)$ :

$$Q(t) = \frac{1}{M} \int_0^M (c - c_0)^2 dx$$

где  $c(x, t)$  – сравниваемое приближенное решение, а  $c_0(x, t)$  – точное решение (2.2). На фиг. 2 приведены зависимости  $Q(t/M^2)$  для квадратичного (кривая 1) и кубического (кривая 2) приближений. Очевидно, что представление приближенного решения уравнения диффузии в виде многочлена третьей степени с зависящими от времени коэффициентами приводит к решению задачи с достаточно высокой степенью точности.

**3. Вероятностная модель длительной прочности.** В научной литературе рассматриваются различные подходы при исследовании длительной прочности материалов ([2, 8, 9, 10] и другие). В отличие от них в данном параграфе предложена вероятностная модель длительной прочности. В этой модели рассматриваемый стержень представляется состоящим из большого количества тонких плотно уложенных пластин длины  $L$ , ширины  $a$  и очень малой безразмерной толщины  $\delta$ . Вводится функция  $N(x_1, x_2, t)$  – количество пластин на интервале  $[x_1, x_2]$  в момент времени  $t$ ; очевидно, имеет место равенство  $N(0, M, 0) = M/\delta$ . Относительно свойств пластин принимаются следующие предположения:

1) напряжение  $\sigma_1$  в каждой пластине не зависит от ее положения и зависит только от времени:  $\sigma_1 = \sigma_1(t)$ ;

2) вероятность  $q(t, t + \Delta t, x)$  того, что пластина с координатой  $x$  разрушится в ин-

тервале времени  $[t, t + \Delta t)$ , удовлетворяет уравнению

$$g(t, t + \Delta t, x) = g\Delta t + o(\Delta t), \quad g = g(\sigma_1(t), c(x, t)) \equiv g(\sigma_1, c) \quad (3.1)$$

3) итоговое разрушение стержня (разделение его на две части) определяется из условия достижения напряжением к каждой неразрушенной пластине  $\sigma_1(t)$  предела кратковременной прочности материала  $\sigma_{b0}$  при соответствующей температуре.

Предлагаемая модель длительной прочности имеет вероятностный характер. Ее можно рассматривать как обобщение структурной модели накопления повреждений [11] на учет влияния окружающей среды. В начальный момент времени растягиваемый постоянной силой стержень прямоугольного сечения состоит из большого количества плотно уложенных пластин с одинаковыми напряжениями  $\sigma_1(t)$ , которые возрастают во времени. Так как рассматриваемый стержень находится под влиянием агрессивной окружающей среды, то концентрация химических элементов  $c(x, t)$  является возрастающей функцией времени и убывающей функцией поперечной координаты  $x$ . Основная особенность рассматриваемой модели заключается во введении вероятности разрушения отдельных пластин, которая является возрастающей функцией напряжения в пластинах  $\sigma_1(t)$  и концентрации  $c(x, t)$ . Эта гипотеза приводит к тому, что с течением времени отдельные пластины разрушаются, причем плотность разрушенных пластин убывает по направлению от боковой поверхности стержня к его середине. Это обстоятельство приводит к появлению неоднородного поля осевых напряжений (с максимумом вдоль оси стержня). Уменьшение количества неразрушенных пластин с ростом времени приводит к увеличению напряжения в каждой пластине, при достижении этим напряжением предела кратковременной прочности  $\sigma_{b0}$  наступает полное разрушение стержня (разделение его на две части). Отсюда следует, что при записи условия длительного разрушения стержня равенство напряжений во всех пластинах пределу длительной прочности материала заменяется выделением в сечении стержня разрушенных и неразрушенных пластин и выполнением условий для осевых напряжений в них соответственно  $\sigma_1 = 0$  и  $\sigma_1 = \sigma_{b0}$ .

Согласно первому предположению напряжение на пластине не зависит от координаты  $x$  и может быть вычислено по формуле:

$$\sigma_1(t) = \sigma_0 M / (N(0, M, t) \delta) \quad (3.2)$$

Напряжения в стержне распределены вдоль оси  $x$  неравномерно. Согласно предлагаемой модели при  $\delta \ll dx$  соотношение для  $\sigma(x, t)$  примет следующий вид

$$\sigma(x, t) = N(x, x + dx, t) \sigma_1 \delta / dx \quad (3.3)$$

Функция плотности неразрушенных пластин  $\psi(x, t)$  определяется соотношением

$$\psi(x, t) = N(x, x + dx, t) / N(x, x + dx, 0) \quad (3.4)$$

Так как в начальный момент времени пластины распределены вдоль оси  $x$  равномерно, то

$$N(x, x + dx, 0) = dx / \delta \quad (3.5)$$

При подстановке (3.5) в (3.4) количество неразрушенных пластин  $N(x, x + dx, t)$  записывается в виде

$$N(x, x + dx, t) = \psi(x, t) dx / \delta \quad (3.6)$$

Используя (3.6), можно найти  $N(0, M, t)$  – общее количество неразрушенных пластин в стержне

$$N(0, M, t) = \int_0^M N(x, x + dx, t) dx = \frac{1}{\delta} \int_0^M \psi(x, t) dx \equiv \frac{M}{\delta} \Psi(t) \quad (3.7)$$

Здесь через  $\Psi(t)$  обозначено среднее значение  $\psi(x, t)$  в сечении. Напряжения  $\sigma_1(t)$  и  $\sigma(x, t)$  можно выразить через плотность  $\psi(x, t)$  и среднюю плотность  $\Psi(t)$ , используя (3.2), (3.3), (3.6) и (3.7):

$$\sigma_1(t) = \sigma_0 / \Psi(t), \quad \sigma(x, t) = \sigma_1(t) \psi(x, t) \quad (3.8)$$

Для получения дифференциального уравнения относительно плотности  $\psi(x, t)$  можно воспользоваться выражением (3.1) и составить уравнение для  $N(x, x + dx, t)$ :

$$N(x, x + dx, t + \Delta t) - N(x, x + dx, t) = -N(x, x + dx, t)(g\Delta t + o(\Delta t))$$

При  $\Delta t \rightarrow 0$  уравнение принимает вид

$$\frac{\partial N(x, x + dx, t)}{\partial t} = -N(x, x + dx, t)g(\sigma_1(t), c(x, t)) \quad (3.9)$$

Уравнение для плотности пластин можно получить, подставив (3.4) в (3.9):

$$\partial \psi(x, t) / \partial t = -\psi(x, t)g(\sigma_1(t), c(x, t)) \quad (3.10)$$

Из третьего предположения и выражения (3.8) следует уравнение для времени полного разрушения  $t^*$ :

$$\Psi(t^*) = \sigma_0 / \sigma_{b0} \quad (3.11)$$

Для функции  $g(\sigma_1, c)$  можно принять простейшую форму

$$g(\sigma_1, c) = A\sigma_1^n(1 + bc) \quad (3.12)$$

В этом уравнении коэффициенты  $A$  и  $n$  описывают процесс ползучести при отсутствии агрессивной окружающей среды (например, в вакууме), и они определяются только свойствами самого материала. Параметр  $b$  характеризует степень влияния концентрации элементов среды в материале стержня, он зависит как от свойств самого материала, так и от свойств той агрессивной среды, в которой находится. Таким образом, в рассматриваемой модели при использовании зависимости (3.12) влияние агрессивной окружающей среды на длительную прочность учитывается введением всего одного параметра  $b$ .

Полученные соотношения легко интегрируются в случае отсутствия влияния окружающей среды ( $b = 0$ ). В рассматриваемом случае плотность пластин  $\psi$  зависит только от времени, и, следовательно, имеют место следующие равенства:

$$\psi \equiv \psi(t) = \Psi(t), \quad g \equiv g(t) = A\sigma_1^n(t), \quad \sigma_1(t) = \sigma_0 / \psi(t) \quad (3.13)$$

Кинетическое уравнение (3.10) для плотности пластин  $\psi$  записывается в этом случае в следующем виде:

$$d\psi(t) / dt = -A\sigma_0^n / [\psi(t)]^{n-1} \quad (3.14)$$

Данное уравнение легко интегрируется, и искомая функция  $\psi$  принимает вид:

$$\psi^n(t) = 1 - An\sigma_0^n t \quad (3.15)$$

Если рассмотреть стандартный параметр поврежденности в виде  $\omega(t) = 1 - \psi(t)$ , то предельное значение параметра поврежденности  $\omega(t^*)$  монотонно убывает при увеличении  $\sigma_0$ :  $\omega(t^*) = 1 - \sigma_0 / \sigma_{b0}$ . Этот результат качественно согласуется с известными экспериментальными данными, в которых предельное значение поврежденности, определяющее разрушение материала, является убывающей функцией номинального напряжения (см., например, [12, 13]). Используя (3.11) и (3.15), можно записать зависимость времени разрушения стержня при отсутствии агрессивной окружающей

среды  $t_0^*$  от номинального напряжения  $\sigma_0$ :

$$t_0^* = \frac{1 - (\sigma_0 / \sigma_{b0})^n}{An\sigma_0^n} \quad (3.16)$$

Это уравнение описывает две особенности, присущие кривым длительной прочности в логарифмических координатах  $\lg \sigma_0 - \lg t_0^*$ : наличие наклонной асимптоты при  $\sigma_0 \ll \sigma_{b0}$  и горизонтальной асимптоты при  $\sigma_0 \rightarrow \sigma_{b0}$ .

**4. Применение вероятностной модели для анализа масштабного эффекта длительной прочности.** Испытания на длительную прочность металлических образцов, находящихся в агрессивных средах при высоких температурах, показывают, что для тонкостенных элементов конструкций пренебрегать влиянием среды на материал нельзя. Если в качестве агрессивной среды выступает атмосферный воздух, то в большинстве случаев времена разрушения при уменьшении толщины уменьшаются в несколько раз [14–16]. Трудность в изучении вопросов влияния воздуха на длительную прочность связана с недостатком систематических экспериментальных исследований. Технические трудности в экспериментальном установлении степени влияния поперечных размеров образцов на длительную прочность обуславливают необходимость построения математических моделей, позволяющих качественно и количественно описывать масштабный эффект. Данные о длительной прочности тонкостенных конструктивных элементов особенно важны. В случае использования плоских образцов согласно действующим стандартам их толщина определяется толщиной проката, которая обычно составляет 5–10 мм, иногда 2–3 мм. Однако реально на практике нередко применяются элементы конструкций толщиной 1 мм и менее. В случае наличия масштабного эффекта длительной прочности необходим метод для экстраполяции результатов испытаний стандартных образцов на характеристики длительной прочности тонкостенных элементов.

В качестве примера можно рассмотреть применение вероятностной модели для описания результатов испытаний [14] плоских образцов из отожженной мягкой углеродистой стали при температуре 450°C и номинальных напряжениях 220–270 МПа. Толщина образцов изменялась от 0,15 мм до 2,0 мм, при этом масштабный эффект наблюдался лишь при толщинах менее 1,0 мм. На фиг. 3 символами  $\times$ ,  $\bullet$  и  $\circ$  нанесены экспериментально-определенные времена разрушения (в часах) соответственно для толщин  $H = 0,15; 0,2$  и  $0,3$  мм. В качестве суммарной характеристики расхождения экспериментальных и расчетных значений времени разрушения можно ввести сумму

$$S = \sum_{i=1}^N \left( \frac{t_i^* - t^*}{t_i^* + t^*} \right)^2 \quad (4.1)$$

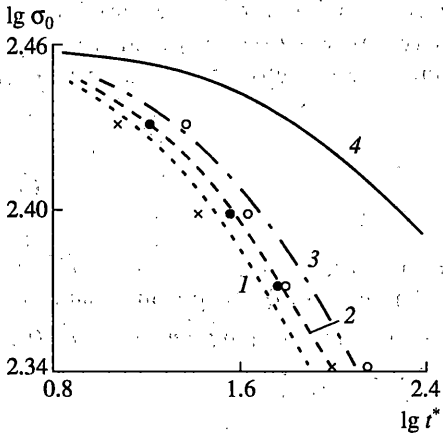
где  $t_i^*$  – экспериментальные значения для времени разрушения образцов толщиной 0,15–0,30 мм, а  $t^*$  – времена разрушения образцов соответствующей толщины, рассчитанные согласно модели (2.1), (3.10),  $N = 10$  – количество испытаний. Для анализа результатов испытаний были использованы следующие константы:  $D = 10^{-5}$  мм<sup>2</sup>/час,  $H_0 = 0,15$  мм,  $\sigma_{00} = 200$  МПа, предел кратковременной прочности  $\sigma_{b0} = 290$  МПа.

При аналитическом описании опытных данных зависимость  $\tau^*(\sigma_0)$  сначала представляется в виде стандартной степенной функции

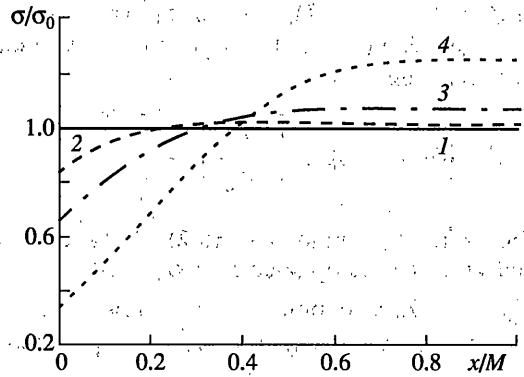
$$t^* = B_0 \sigma_0^{-n} \quad (4.2)$$

Вычисления приводят к следующим значениям констант:  $B_0 = 8$ ,  $n = 10,8$ . При этом параметр разброса составил  $S = 0,118$ .

В модели подлежат определению три константы:  $A$ ,  $n$ ,  $b$ . Так как при толщинах образцов 1,0 мм и 2,0 мм масштабный эффект не наблюдается, то соответствующие



Фиг. 3



Фиг. 4

экспериментальные данные можно использовать для определения констант  $A$  и  $n$ , при этом следует использовать соотношение (3.16). Константа  $b$  была подобрана из условия минимума величины разброса  $S$  на основе результатов испытаний образцов толщиной 0,15–0,30 мм.

В результате получены следующие значения констант:  $A = 5,29 \cdot 10^{-5}$ ,  $n = 8,5$ ,  $b = 28$ . При этом параметр разброса составил  $S = 0,060$ . На фиг. 3 сплошной линией 4 показана кривая длительной прочности в отсутствии влияния среды, линиями 1–3 показаны кривые длительной прочности для различных толщин образцов (0,15; 0,20 и 0,30 мм соответственно). Вычисления показали, что значения  $t^*$ , полученные при использовании точного и приближенного решений уравнения диффузии, как правило различаются между собой не более, чем на 1%. На фиг. 4 приведены эпюры относительного растягивающего напряжения  $\sigma/\sigma_0$  для номинального напряжения 220 МПа и толщины  $H = 0,3$  мм при различных значениях времени  $t$ . Кривые 1–4 представляют собой зависимости  $\sigma/\sigma_0$  от  $x$  при значениях  $t = 0, t^*/3, 2t^*/3, t^*$  соответственно. Из фиг. 4 следует, что в результате действия агрессивной окружающей среды при  $t = t^*$  возникает значительная неоднородность напряженного состояния, растягивающее напряжение вблизи боковой поверхности уменьшается относительно значения исходного номинального напряжения на 65%, а в центре сечения – возрастает на 26%.

С помощью предложенной модели было осуществлено прогнозирование времен разрушения тонких образцов ( $H = 0,15$  мм) на основе информации о длительной прочности образцов большей толщины ( $H = 0,2–0,3$  мм). Вычисления показали, что суммарный разброс  $S$  экспериментальных и теоретических значений времен разрушения при  $H = 0,15$  мм, полученный с помощью вероятностной модели, в 4 раза меньше, чем разброс, подсчитанный с помощью применения стандартной модели.

**5. Обобщение модели [2] на учет влияния окружающей среды.** Ниже рассмотрено обобщение обычной модели длительной прочности Ю.Н. Работнова [2] на учет влияния агрессивной окружающей среды

$$\frac{d\omega(t)}{dt} = G \left[ \frac{\sigma_0}{1-\omega(t)} \right]^m \left[ 1 - \left( \frac{\sigma_0}{\sigma_{b0}} \right)^\alpha \right]^{m/\alpha} f(c_m(t)) \quad (5.1)$$

Здесь накопление поврежденности зависит от среднего уровня концентрации  $c_m(t)$ , в качестве функции  $f(c_m(t))$  используется выражение с единственной характери-



стикой влияния окружающей среды на длительную прочность – константой  $b$ :  $f(c_m(t)) = 1 + bc_m(t)$ . При интегрировании (5.1) в случае отсутствия агрессивной окружающей среды ( $f(c_m) \equiv 1$ ) уравнение кривой длительной прочности записывается в следующей форме:

$$t_0^* = [(m+1)G\sigma_{b0}^m]^{-1} \left[ \left( \frac{\sigma_{b0}}{\sigma_0} \right)^\alpha - 1 \right]^{m/\alpha} \quad (5.2)$$

Как и (3.16), уравнение (5.2) характеризуется наличием двух асимптот в логарифмических координатах  $\lg \sigma_0 - \lg t^*$ : наклонной при  $\sigma_0 \rightarrow 0$  и горизонтальной при  $\sigma_{b0} \rightarrow 0$ . Интегрирование (5.1) приводит к связи времен разрушения  $t^*$  и  $t_0^*$  (при наличии и отсутствии агрессивной окружающей среды):

$$t_0^* = \int_0^{t^*} f(c_m(t)) dt \quad (5.3)$$

Анализ экспериментальных данных при  $H = 1$  мм и  $H = 2$  мм проводился с помощью уравнения (5.2), при этом материальные константы принимают следующие значения:  $m = 11$ ,  $\alpha = 19$ ,  $G = 2,85 \cdot 10^{-5}$ .

Анализ результатов испытаний образцов толщины 0,15–0,30 мм с помощью уравнения (5.3) показывает, что при  $b = 28$  суммарный разброс  $S$  принимает значение  $S = 0,050$ , т.е. применение модели (5.1) приводит к уменьшению суммарного разброса в 2,3 раза. Из решения задачи следует, что согласно данной модели образцы при разрушении интенсивно насыщены агрессивной окружающей средой: средняя концентрация  $c_m(t^*)$  химических элементов окружающей среды в объеме образцов при их разрушении в зависимости от их толщины и осевого напряжения составляют от 11 до 45% от уровня концентрации этих элементов в окружающем пространстве.

При прогнозировании данных длительной прочности образцов толщины 0,15 мм, проведенном с помощью рассмотренной модели (аналогично п. 4), суммарный разброс  $S$  составил величину, которая в 4 раза меньше разброса, подсчитанного с применением стандартной модели.

Следует отметить, что предложенные модели могут описывать как разупрочняющее действие окружающей среды, так и упрочняющее действие; в этом случае меняется только знак коэффициента  $b$ .

Работа выполнена при поддержке РФФИ (грант 99-01-00093).

#### СПИСОК ЛИТЕРАТУРЫ

1. Локощенко А.М., Шестериков С.А. Моделирование влияния окружающей среды на ползучесть и длительную прочность // Изв. РАН. МГТ. 1998. № 6. С. 122–131.
2. Работнов Ю.Н. Ползучесть элементов конструкций. М.: Наука, 1966. 752 с.
3. Лембке К.Э. Движение грунтовых вод и теория водосборных сооружений // Ж. Министерства путей сообщения. 1886. № 2. С. 507–539; 1887. № 17. С. 122–140; 1887. № 18. С. 141–154; 1887. № 19. С. 155–166.
4. Чарный И.А. Основы подземной гидравлики. М.: Гостоптехиздат, 1956. 260 с.
5. Баренблатт Г.И. О некоторых приближенных методах в теории одномерной неустановившейся фильтрации жидкости при упругом режиме // Изв. АН СССР. ОТН. 1954. № 9. С. 35–49.
6. Шестериков С.А., Юмашева М.А. Приближенный метод оценки температурных полей // Тр. Ин-та механики МГУ. 1973. № 23. С. 63–68.
7. Шестериков С.А., Юмашева М.А. К проблеме терморазрушения при быстром нагреве // Изв. АН СССР. МГТ. 1983. № 1. С. 128–135.

8. *Ильюшин А.А.* Об одной теории длительной прочности // Изв. АН СССР. МТТ. 1967. № 3. С. 21–25.
9. *Ильюшин А.А., Победра Б.Е.* Основы математической теории термовязкоупругости // М.: Наука. 1970. 280 с.
10. *Шестериков С.А., Локощенко А.М.* Ползучесть и длительная прочность металлов // Итоги науки и техники. Сер. Мех. деформ. тверд. тела. Т. 13. ВИНТИ. 1980. С. 3–104.
11. *Болотин В.В.* Ресурс машин и конструкций. М.: Машиностроение, 1990. 448 с.
12. *Локощенко А.М.* Исследование поврежденности материала при ползучести и длительной прочности // ПМТФ. 1982. № 6. С. 129–133.
13. *Lokoshtchenko A.M.* The investigation of the metal damage at the creep by the method of electrical resistance measuring // Creep in Structures: 6-th IUTAM Symp., Cracow, (1990). Berein: Springer, 1991. P. 379–383.
14. *Одинг И.А., Фридман Э.Г.* Роль поверхностных слоев при длительном разрушении металлов в условиях ползучести // Заводская лаборатория. 1959. Т. 25. № 3. С. 329–332.
15. *Никитин В.И., Таубина М.Г.* Масштабный эффект при высокой температуре и статической нагрузке // Теплоэнергетика. 1965. № 4. С. 52–57.
16. *Куров В.Д., Мельников Г.П., Токарев В.Д.* Влияние масштабного фактора на время разрушения в условиях ползучести труб из стали X18H10T при температуре 1123 К // Машиноведение. 1967. № 6. С. 107–109.

Москва

Поступила в редакцию  
12.07.1999